

Infinitesimale kegelige Überschallströmung

Von Adolf Busemann

Kegelige Strömungsfelder

Wirkliche Stromungen spielen sich stets im dreidimensionalen Raum ab. Für die Berechnung einer Strömung wird jedoch hier sehr begnügt, wenn man es mit zweiwesentlichen Koordinaten zu tun hat. Diese artige auf zwei Koordinaten beschränkte Strömungen bilden die ebene Strömung und die achsen-symmetrische Strömung. Der durch die Stromlinien gefasste Raum wird dabei in Ebenen parallel zur Faser dargestellt, die gewisse Stromlinien in ihrer ganzen Ausdehnung enthalten. Bei den kegeligen Strömungsfeldern werden die Fasern dagegen quer durchschnitten, so daß jede Stromlinie in der Bildebene enthalten ist, dort aber nur als Punkt erscheint. Diese Verhältnisse sind in Abbildung 1 veranschaulicht. Die parallele Außblasung und die Gestalt des angeblasenen Körpers lassen bei Vernachlässigung der Reibung eine Strömung erwarten, die in sich selbst geometrisch ähnlich vergrößert oder verkleinert werden kann. Hierbei bleibt der Fixpunkt P und die Richtung der drei räumlichen Achsen x , y und z erhalten. Alle wesentlichen Merkmale der Strömung und die Gestalt des Körpers lassen sich aus der Ebene $z = 1$ entnehmen. Denn eine Ebene $z = 2$ würde in doppelten Entfernungen identische Werte für Gaszustände und Geschwindigkeiten liefern. Die Isobarenflächen haben im Raum x , y , z kegelige Gestalt mit der Kegelspitze in P , daher seien diese Strömungen kurz als kegelige Strömungsfelder bezeichnet.

Infinitesimale Druckunterschiede

In Abbildung 1 sollen die allgemeinen kegeligen Strömungsfelder noch eine weitere Einschränkung besitzen, indem der umströmte Körper die Parallelströmung nur wenig stört. Die kegeligen Isobaren geben also nur Über- und Unterdrücke wieder, die infinitesimal vom Druck der Parallelströmung abweichen. Diese doppelte Beschränkung auf kegelig und infinitesimal ist insofern nicht so besonders einschneidend, als im Bereich der Potentialströmungen nur die kegeligen Felder mit Achsen-

symmetrie und die infinitesimalen kegeligen Felder vorhanden sind. Wie andere vektorielle Strömungen sind mit Wirbeln bebüttet. Die infinitesimalen kegeligen Überschallströmungen sind jedoch noch in anderer Weise ausgezeichnet; bei ihnen ist die Superposition von Feldern mit verschiedenen Fixpunkten P trotz der sonst nichtlinearen Differentialgleichung gestattet. Wodurch die Anwendbarkeit eine erfreuliche Erweiterung erfährt.

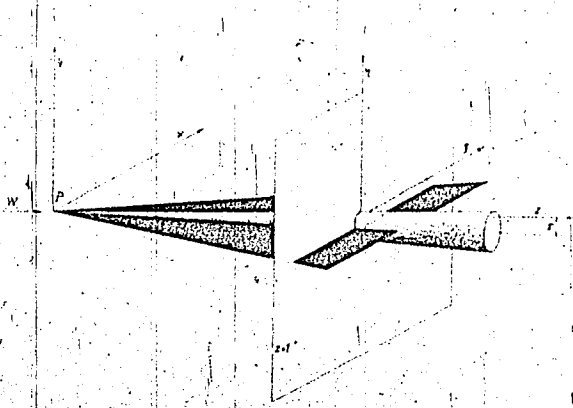


Abb. 1
Koordinaten im kegeligen Feld

Differentialgleichung

Von den beiden Wegein, die Differentialgleichung für das Potential in kegeligen Feldern auf kleine Zusatzgeschwindigkeiten u , v , w zu beschränken und die Differentialgleichung für fast parallele räumliche Strömungen auf kegelige Felder zu beschränken, ist der erste der tatsächlich benutzte, aber der zweite der einfachere. Daher sei hier der zweite gewählt. Die linearisierte Differentialgleichung im Raum x , y , z für das Zusatzpotential φ über einer Grundgeschwindigkeit W in Richtung der z -Achse lautet bei der Schallgeschwindigkeit a des Gases bekanntlich:

$$\varphi_{xx} + \varphi_{yy} + \varphi_{zz} \left(1 - \frac{W^2}{a^2}\right) = 0 \quad (1)$$

Die Koordinaten x und y der kegeligen Strömung haben die gleichen x - und y -Koordinaten der Ramiere, x und y auf der Fläche $\alpha = 1$.

$$x = \frac{1}{2} \rho_0 \xi^2 + \frac{1}{2} \rho_0 \eta^2 \quad \text{und} \quad y = \frac{1}{2} \rho_0 \xi \eta \quad (1)$$

Das Zusatzpotential ψ wächst auf jedem Strahl durch Einpunkt P proportional der Entfernung. Das durch z dividierte Potential ist daher auf dem einzelnen Strahl invariant und liefert das Potential der kegeligen Strömung:

$$\chi(\xi, \eta) = \frac{1}{2} \psi(\xi, \eta, z) \quad (2)$$

Die Zusatzgeschwindigkeiten u , v über der Grundgeschwindigkeit W ergeben sich als Ableitungen des früheren Potentials ψ jetzt in folgender Weise:

$$u = \psi_x = Z_x + \frac{\partial}{\partial \xi} \psi, \quad v = Z_y - W = \psi_y - Z_x - \frac{\partial}{\partial \eta} \psi \quad (3)$$

Die Differentialgleichung für das neue Potential χ bestimmt sich aus der alten Differentialgleichung, und man erhält:

$$Z_w \left(1 - \frac{z^2}{A^2}\right) + Z_{w\eta} \left(1 - \frac{\eta^2}{A^2}\right) + Z_{w\xi} \frac{2z\eta}{A^2} = 0 \quad (5)$$

mit

$$\frac{W^2}{A^2} = 1 - \frac{1}{\operatorname{tg} \alpha}$$

Es ist sicher erfreulich, im Typ dieser Differentialgleichung einen alten Bekannten aus der ebenen Gasströmung wiederzuerkennen. Die nach Legendre transformierte Stromfunktion der ebenen Strömung über den Komponenten der Stromdichte, aufgetragen liefert nämlich genau die gleiche Differentialgleichung. Bei gewöhnlichen Gasen ist jedoch der Nenner A^2 eine Ortsfunktion, doch gibt es ein besonderes Gas mit geradliniger Adiabaten im Druck-Volumen-Diagramm, bei dem auch dieser Nenner wie erforderlich konstant bleibt. Dieses Gas erfreut sich sogar einer besonderen Beliebtheit, wenn es nur auf numerische Berechnungen ankommt.

Einflußbereiche

Die räumliche Differentialgleichung der Gasströmung ist bei Überschallgeschwindigkeit von hyperbolischem Charakter, wie Gleichung (1) zeigt. Das bedeutet, jeder Punkt der Strömung beherrscht einen kegigen

Bereich, der sich strömungswärts, also vom Punkt P weg, erstreckt, von denjenigen Punkten berücksichtigt, die im Stromrichtungsfeld des nach Stromauswärts sich öffnenden Kegels liegen. Darauf kann der in die Abhängigkeiten zwischen den Merkmalen einbezogene Bereich nachgewiesen werden und damit ist der Begriff des Störbereichs im scheinlichen Sinn, d. h. im Sinn der Überordnetheit eines Merkmals M_1 über einem Predikator P , gegeben verständlich. Es muß zugesagt werden, daß dies geschrieben, wenn die Abhängigkeiten der abhängigen räumlichen Strömung eine Ausweitung erfahren, welche M_1 zu einer im abhängigen räumlichen Stromung übergeht. Dies schafft aber die Voraussetzung, daß innerhalb des Kreises mit dem Radius A der charakteristische Charakter bestehet.

Die Tatsache, daß alle Punkte eine Straße von P aus zu einer Einheit zusammengefaßt sind, erklärt dieses Verhalten sehr leicht. Das Abhängigkeitsverhältnis zw. Strahlen ergibt sich aus den Abhängigkeiten der einzelnen Punkte. Es tritt nur das Merkmal unabhängig in gewissen Fällen eindeutig für alle Punktpaare auf (P selbst ist ausgeschlossen). Aus der Kombination übergeordnet und unabhängig wird übergeordnet, aus untergeordnet und unabhängig wird untergeordnet. Gibt es auf den Strahlen aber Punktpaare aller Gattungen, so sind die Strahlen mit dem neuen Merkmal gegenseitig abhängig belastet. Derartige Strahlen erfüllen das Innere des Machschen Kegels vom Punkt P aus.

Charakteristiken

Der Machsche Kegel von P aus schneidet die Ebene $z = 1$ im Kreise mit dem Radius A . Im Außengebiet dieses Kegels, d. h. außerhalb des Kreises in der Schnittebene, erhält man im Schnitt geradlinige Charakteristiken der Differentialgleichung (5), welche den Kreis mit dem Radius A tangieren. In Abbildung 2 ist dies durch zwei Drähte a und b veranschaulicht, wovon der Draht b etwas strömungswärts geneigt verläuft, um auch derartige Fälle nicht auszuschließen. Der Störbereich ergibt sich aus der Summe aller Machschen Kegel von allen Punkten des Drahtes aus. Es ist sofort zu erkennen, daß als Grenzen des Störbereichs nur der Kreis mit dem Radius A und seine Tangenten auftreten können. Außerhalb des Machschen Kegels vom Punkte P aus erledigen sich alle Fragen durch diese Charakteristiken und lassen sich auf den ebenen Fall mit einer Schiebekomponente der Geschwindigkeit zurückführen. Der wesentliche und andersartige Teil der kegelförmigen Felder betrifft daher den Mantel des Machschen Kegels vom Punkt P und sein Inneres.

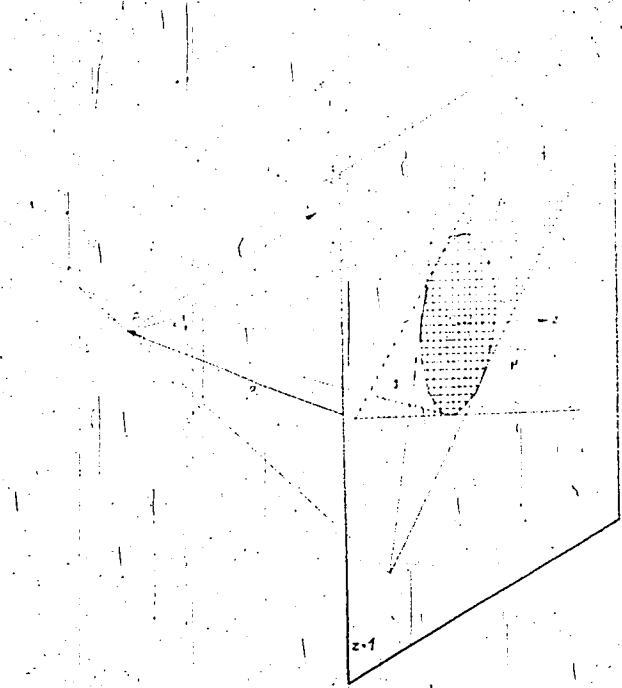


Abb. 2

Störgebiet der Drähte a und b

Tschupluginsche Abbildung

In der Schnittebene $z = 1$ finden wir innerhalb des Kreises vom Radius A den elliptischen Charakter der Differentialgleichung (5). Nahe am Mittelpunkt gilt sogar die Differentialgleichung der Potentialtheorie, die man in ebenen Fällen durch analytische Funktionen des komplexen Ortsvektors befriedigen kann. In diesem Kreis ist demnach nur eine gegenseitige Abhängigkeit, aber noch keine völlige Gleichwertigkeit.

aller Orte vorhanden, was kein Wunder ist, weil die analytische Fortsetzung der Ebene in das Außengebiet des Kreises geht. Es schließen sich jedoch eine Abbildung angedeutet, die die Ebene innerhalb des Kreises so verzerrt, daß Gleichwertigkeit in bezug auf die Differentialrechnung eintritt. Diese Abbildung, die jetzt veranschaulicht diese Verzerrungen, wenn man die Ebene \mathbb{C}^1 mit dem komplexe Ortsvektor ϵ durch Parallelprojektion auf eine Kugel vom Radius 1 überträgt und dann von

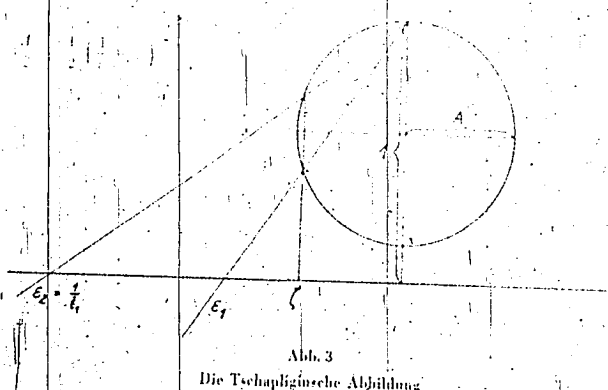


Abb. 3
Die Tschaplynsche Abbildung

einem Pol der Kugel aus auf eine Ebene im Abstand 1 wirft. Man erkennt leicht, daß nur noch das Innere des Kreises vom Radius A zur Abbildung gelangt und einmal von der unteren Halbkugel auf das Innere des Einheitskreises der neuen Ebene mit dem komplexen Ortsvektor ϵ abgebildet wird, ein zweites Mal von der oberen Halbkugel auf das Außengebiet des Einheitskreises gelangt. In diesen Koordinaten kann man analytische Funktionen zur Lösung heranziehen.

Lösung der Differentialgleichung

Für jede der Geschwindigkeitskomponenten u , v und w kann man den Realteil einer analytischen Funktion $f(\epsilon)$ ansetzen. Zweckmäßig setzt man ihn für die Komponente w an, weil sich dann die miteinander stärker verwandten Komponenten u und v gemeinsam berechnen lassen:

$$w = A \cdot \operatorname{Re}(f(\epsilon)) \quad \text{bzw.} \quad w + is = A \cdot f(\epsilon), \quad (6)$$

zuletzt vorliegt eine physikalisch sinnvolle Lösung für das gesuchte Problem. Letzterlich ergibt sich also die Lösung der Geschwindigkeitskomponenten

$$u = \frac{1}{2} \left(\rho_0 A W \epsilon + \rho_0 \omega r \right) \quad (7)$$

Aus den Geschwindigkeitskomponenten ergibt sich der Druck in der Stromlinie mit Hilfe der Dichte ρ wie folgt:

$$p = \rho_0 \left(\frac{1}{2} u^2 + \frac{1}{2} v^2 + \frac{1}{2} w^2 \right) + \frac{1}{2} \rho_0 A W \epsilon f \quad (8)$$

Die geeignete Funktion $f(r)$ ist mit Hilfe der Randbedingungen auszuwählen.

Randbedingungen

Das Äußere des Machschen Kegels ist dem Machschen Kegel selbst übergeordnet. Daher sind zunächst diejenigen Geschwindigkeiten u , v und w zu ermitteln, die sich aus dem Außenbereich auf dem Kreis mit dem Radius A der ϵ -Ebene, also auf dem Einheitskreis der ϵ -Ebene ergeben. Ragt der unströmte Körper nirgends aus dem Machschen Kegel heraus, so sind insbesondere die Werte $u = v = w = 0$ auf dem Einheitskreis gegeben. Ist im Gegenteil kein Bestandteil des angeblasenen Körpers im Innern des Machschen Kegels, so sind die Werte von w durch eine im Innern des Kreises singularitätenfreie analytische Funktion $f(\epsilon)$ mit den gegebenen Randwerten auf dem Kreis darzustellen. Ergibt $f(\epsilon)$ im Nullpunkt keinen stationären Wert $df/d\epsilon = 0$, so erhalten u und v nach Gleichung (7) eine logarithmische Singularität im Nullpunkt. Die vielblättrige Funktion läßt sich bei Verwendung radialer Schnitte mit den Randwerten von u und v auf dem Einheitskreis eindeutig auswählen. Die radialen Schnitte ergeben Wirbelschichten, wie sie physikalisch vom tragenden Teil des angeblasenen Körpers zu erwarten sind.

Feste Begrenzungen des angeblasenen Körpers kann man mit in die ϵ -Ebene übertragen, sie müssen Stromlinien im Felde der Relativgeschwindigkeit

$$\Omega_{rel} = \omega + \epsilon^2 \dot{\theta} = 2 A W \epsilon \quad (9)$$

sein. Diese Bedingung ist nicht immer leicht zu erfüllen. Besitzt der Körper jedoch geradlinige Oberflächenelemente, die in der ϵ -Ebene nur in infinitesimaler Entfernung am Nullpunkt vorbeigehen oder in der Verlängerung an ihm vorbeizeigen, so gilt auf ihnen, daß der bisher sinnlose Imaginärteil s der Funktion $f(\epsilon)$ konstant bleibt, wobei man die

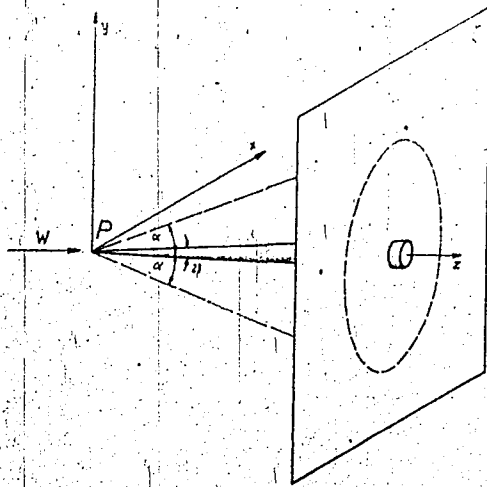
Oberfläche genau in radiale Richtung verlegen darf. Nicht über diese Teil dann über den Nullpunkt hinaus. So kommt am Nullpunkt selbst eine stationärer Wert für die bedeckte Fläche zu bestimmen. Dies ist im Bildeszenario nicht besonderer angebracht, wo der Durchmesser des Kreisbogens für den Fall gegebenen Druckes oder zu gewünschter Auftreffer zu entgehen ist. Das Verschwinden des Beaufalls oder die Flächeneigenschaft von Γ ist, ebenso wie Liniärität durch Randbedingungen oder Symmetrieeigenschaften in bekannter Weise durch Spiegelung gegebenenfalls leicht herzulegen. Abbildung 4 zeigt erreichen, wie die Beispiele lehren sollen.

Beispiele

Ab. 1. Der gerade angeblasene Kreiskegel

Für den einzigen achsensymmetrischen Fall, den gerade angeblasenen Kreiskegel mit infinitesimalem Öffnungswinkel α (Abbildung 4) liefert selbstverständlich der Ansatz

$$w = i s - C \cdot \ln r \quad (10)$$



Ab. 4
Gerade angeblasener Kreiskegel

die Abgasgeschwindigkeit. Die Form des Kreiskegels ist durch die Öffnungswinkel bestimmt.

Die Form des Kreiskegels ist durch den Winkel α zwischen dem Achsenstrahl und dem Abgasstrahl bestimmt.

Abb. 5. Der schräg angeblasene Kreiskegel

Mit Hilfe der Bernoulli-Gleichung kann man leicht nachweisen, dass auch der Kreiskegel mit Schlagsbildung Abbildbar ist, z. B. wenn die Zonenwinkel und Anstellwinkel unmittelbar sind, aber jeder beliebige Winkel im Verhältnis zum anderen verändert. Die Lösung ist:

$$f = \frac{1}{2} \ln \left(\frac{1 + \cos \delta}{1 - \cos \delta} \right) \quad (12)$$

und der Druck am Kegelumfang:

$$p = p_0 \cdot g W^2 \left\{ \pi R \ln \left(\frac{1 + \cos \delta}{1 - \cos \delta} \right) - 2 \frac{6}{R} \cos \delta \right\} \frac{1}{2} \cos 2\delta \quad (13)$$

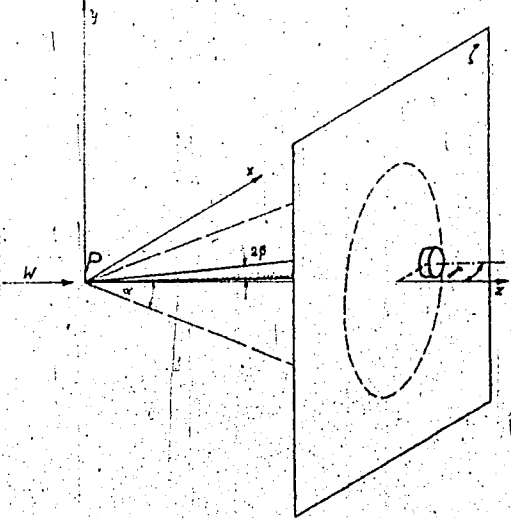


Abb. 5.
Schräg angeblasener Kreiskegel

Macht man den Winkel über Schrägaufbau wieder den rechten, so ergibt sich der Winkel β , verschieden von α , wenn die Achse des Zylinders im unkomprimierten Zustand auf der Vorderkante liegt.

Verdrehzahl Γ erhält man aus der Formel:

schwingungsfrequenz $\omega = \sqrt{\frac{E}{\rho}} \cdot \frac{1}{2} \cdot \frac{1}{\Gamma}$.

und für die Zeit t während derer die Frequenz ω um $\Delta\omega$ variiert ist:

Zeit $t = \frac{2\pi}{\Delta\omega} \cdot \frac{1}{\Gamma}$ und $\Gamma = \frac{2\pi}{\Delta\omega} \cdot \frac{1}{\sqrt{\frac{E}{\rho}}}$.

Die Frequenz ω ist gleich der Frequenz ω_0 der entsprechenden Schwingung mit E_0 und ρ_0 .

Verdrehimpuls $I = \frac{1}{2} \cdot \frac{1}{\Gamma} \cdot \frac{1}{\sqrt{\frac{E}{\rho}}}$.

Rand einer Rechteckplatte

Wird eine ebene Rechteckplatte durch einen rechten Winkel auf ihrer Vorderkante mit infinitesimalen Anstellwinkel α und β in die Abgleitstellung gebracht, so kann man den Fixpunkt P in den rechten Gegenpunkt des Abgleitpunktes legen, wenn man das Druck- und Torsionsmoment so einstellt, dass die Hinterkante der Platte horizontal bleibt. Es wird dann durch die Druckverteilung auf der Viertelebene zwischen der positiven x -Achse und der negativen y -Achse bei einer gedachten infinitesimalen Drehung um diesen Anstell-

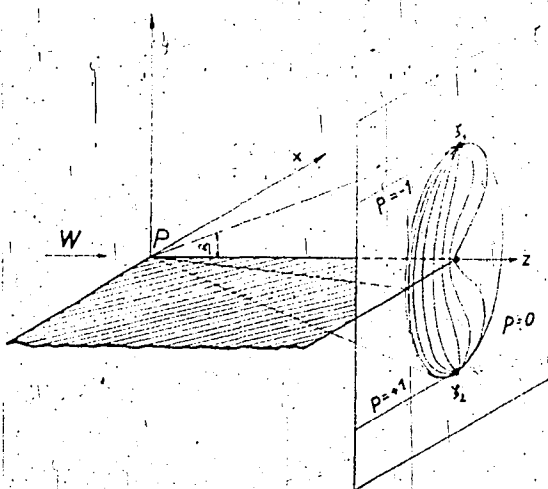


Abb. 6
Rand einer Rechteckplatte

Die Lösung ist hier wiederum ein Produkt aus einer reinen Schwingung und einer zugehörigen Antidifferenzialfunktion. Der Faktor $\sin \frac{\pi}{2} x$ ist eine reine Schwingung, die auf der rechten Seite des Rechtecks verschwindet. Der Faktor $\frac{1}{\pi} \operatorname{arc} \cos \frac{x}{2}$ ist eine Antidifferenzialfunktion, die auf der linken Seite verschwindet. Die Schwingung ist also auf der rechten Seite des Rechtecks konzentriert. Dies ist durch die entsprechende Form des Graphen bestätigt. Das war bis auf eine Konstante gegeben. Es ist nun noch zu zeigen, dass diese Schwingung die vorgegebene Randbedingungen erfüllt. Dazu ist es erforderlich, die entsprechenden Werte an den vier Ecken des Rechtecks einzuführen. Die Lösung ist in Abbildung 7 dargestellt.

$$u(x, y) = \frac{1}{\pi} \operatorname{arc} \cos \frac{x}{2} \sin \frac{\pi}{2} y \quad \text{für } 0 < x < 2, \quad 0 < y < 1. \quad (14)$$

Die Druckverteilung an beiden Rändern einer Rechteckplatte zeigt Abbildung 8. Als tragender Druck ist dabei die Hälfte des Unterschiedes zwischen Druck- und Saugseite aufgetragen:

$$\frac{1}{2} (p_1 - p_2) = \frac{1}{\pi} \operatorname{arc} \cos \frac{x}{2} \sin \frac{\pi}{2} y \quad (15)$$

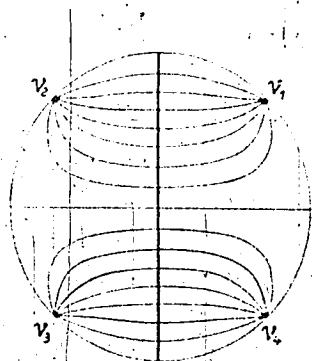
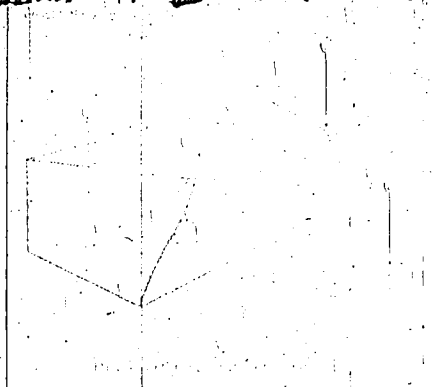


Abb. 7

Konforme Abbildung zum Rand der Rechteckplatte



Tragendes Dreieck

- Bei zwei Strahlen von ρ aus ergibt sich ein dreieckförmiges Dreieck für das Dreieck:
- $\omega = 1$, wenn man alle Punkte verbindet. Weges der verbliebenen igentlichen Störung der Parallelströmung darf aber der Anstellwinkel nicht infinitesimal sein, so daß die Ebene der beiden Strahlen nahezu durch die ω -Achse gehen muß. Derartige Dreiecke sind völlig innerhalb des Machschen Kegels, völlig außerhalb, einseitig oder zweiseitig herausragend möglich. Hier soll nur der einfachste Fall des tragenden Dreiecks außerhalb des Machschen Kegels betrachtet werden, obwohl sich auch alle anderen Fälle leicht integrieren lassen.

Abbildung 9 zeigt dieses tragende Dreieck. Die Geschwindigkeitskomponente w , die den Druck überwiegend beeinflußt, ist nur auf den kurzen Bögen zwischen z_1 und z_2 sowie z_3 und z_4 von Null verschieden. Die Werte Null ergeben sich rechts aus der Ungestörtheit und links wegen des Druckausgleichs hinter dem Dreieck unter Berücksichtigung der Symmetrie bei positivem und negativem Anstellwinkel. Die Verhältnisse in der ϵ -Ebene zeigt Abbildung 10. Denkt man daran, die Hinterkante des Dreiecks noch wandern zu lassen, während die Vorderkante festliegt, so wird man die Punkte z_1 und z_2 erst allein in die ϵ -Ebene übertragen. Dabei muß für w unter geeigneter Normierung bei z_1 ein Anstieg von 0 auf $\pm \pi$ und bei z_2 ein Anstieg von $\mp \pi$ auf Null eintreten, wenn man auf dem Kreis in Richtung wachsender Winkel umläuft. Man kann diesen Teil der Lösung durch Annahme einer weiteren Singularität im Nullpunkt auch unabhängig behandeln:

$$f(\epsilon) := i \{ \ln(\epsilon - z_1) + \ln(\epsilon^{-1} - z_2) \} h(\epsilon) \quad (16)$$

$$p_1 - p_{\infty} = \text{const.} \quad (17)$$

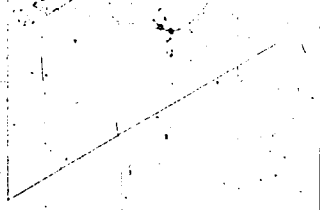


Abb. 9
Tragendes Dreieck

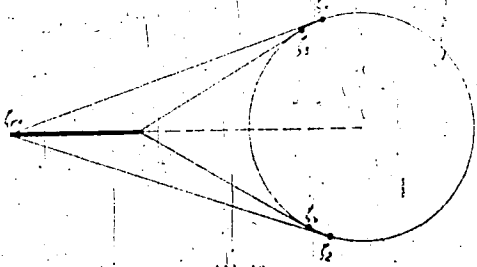


Abb. 10
Querschnitt vom tragenden Dreieck

Physikalisch gedeutet hat man dann das Phänomen so, daß zwischen den Vordrähten bei einem gewissen Abstand von einigen Regeln auf die Vorderseite des Drahtes ein elektrischer Spannungsabfall eintritt, der die Elektronen aus dem Draht abzieht und diesen entladen. Dieser Vorgang ist mit dem Auftreten eines negativen Ladungsbereiches im Raum verbunden.

and the author's name, and the date of publication. The title page is often the first page of the book, and it contains the title, author's name, publisher's name, and the date of publication.

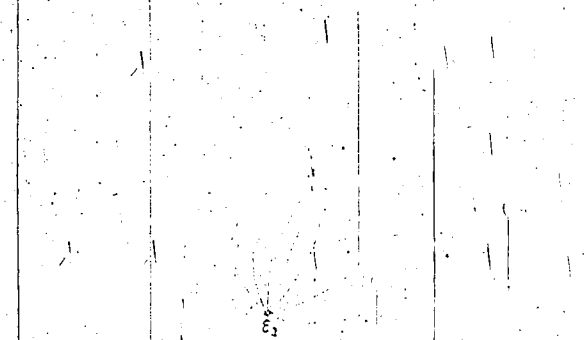


Abbildung des tragenden Dreiecks in der Ebene

5. Überlagerung zweier kegelförmiger Strömungen

Die infinitesimalen kegeligen Strömungen dürfen überlagert werden, auch ohne daß der Fixpunkt wie im Beispiel 4 gemeinsam ist. Daher kann man die Verhältnisse an der ebenen Platte auch bei größerer Platten-tiefe darstellen. Abbildung 12 zeigt die Isobaren des Plattenrandes und ihre Überlagerung nach der gegenseitigen Durchdringung der Machischen Kegel. Erst wenn die Kegel den anderen Plattenrand erreichen, sind andere Grenzbedingungen für die Teillösungen zu berücksichtigen. Merkwürdig ist das Verschwinden des Drucks längs einer geraden Linie in jener Entfernung, bei der die Kegel den anderen Plattenrand erreichen. Hier endet der, allein positiv belastete Teil der Platte. Abbildung 13 zeigt die Aufliehsverteilung des positiv belasteten Teils in perspekti-vischer Darstellung.

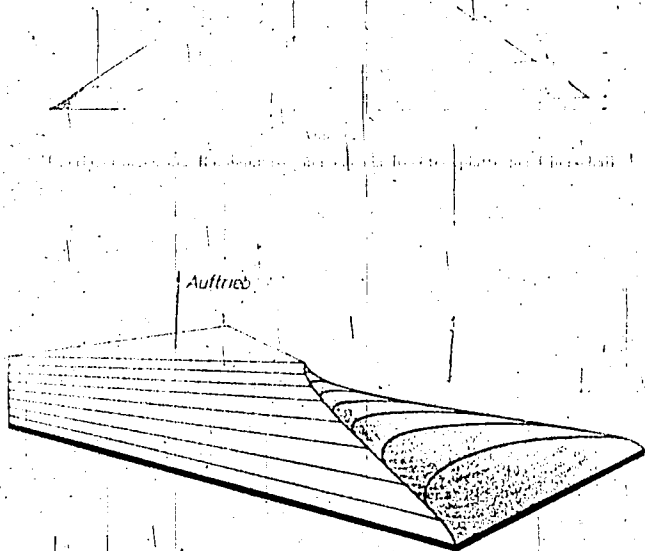


Abb. 13

Druckverteilung auf der ebenen Rechteckplatte bei Überschall

Will dann das Geschwindigkeitsfeld längst einer Rechteckform folgen, so kann man durch die Verwendung der Koeffizienten der Potenzen des $\frac{1}{r}$ -Gliedes im Strömungsfeld die Geschwindigkeit bestimmen. Auf diese Weise erhält man ein Geschwindigkeitsfeld, das aus dem zentralen Geschwindigkeitsfeld und aus den Belebungsfeldern besteht, welche die Geschwindigkeit auf der Fließrichtung hin ändern. Die Geschwindigkeitsverteilung ist hierbei nach der Prandtl'schen Methode berechnet worden. Eine ausführliche Aufstellung der Ergebnisse ist in einem Vortrag vor der Akademie der Wissenschaften von Prof. Dr. P. O. Hirschberg in der Zeitschrift für Flugtechnik und Motorluftfahrt erschienen.

Zusammenfassung

Die Berechnung infinitesimaler kegeliger Überschallströmungen wurde zunächst an den einfachsten Beispielen gezeigt, die auch auf anderer Weise berechnet waren. Bis auf die Entwicklung eines leicht zu beherrschenden Rechenfehlers in einer älteren Arbeit ergab sich die erwartete Übereinstimmung. Die neue Berechnungsgattung ist zwar stärker auf den kegigen Fall beschränkt, dafür bietet sie aber größere Bequemlichkeit, weil ihre Lösung durch analytische Funktionen erreicht wird. Eine eingehendere Beschäftigung mit kegeligen Feldern als Sonderfallen in Überschallströmungen ergibt sich aus der grundsätzlichen Erkenntnis, daß dort der hyperbolisch Charakter durch den elliptischen abgelöst wird. Man wird zwar gern den elliptischen als nur scheinbar bezeichnen, denn wenn man in einen angeklasenen Kegel eine Kerbe schlägt, so offenbart sich sofort wieder der wahre hyperbolische Charakter des Strömungsfeldes stromabwärts dieser Kerbe. Verfolgt man aber die Strömung sehr weit hinter der Kerbe, so wird innerhalb des Machschen Kegels bei schrittweisem Vorgehen eine abwechselnde Überordnung und Nachordnung auf je zwei Strahlen eintreten und hierdurch allmählich der kegige Strömungsverlauf bei dem wachsenden Querschnitt des Kegels wiederhergestellt. Um daher an Orten mit offenbar kegigem Strömungsfeld die endgültige Strömung nicht erst durch eine unendliche Folge von hyperbolischen Abhängigkeiten herstellen zu müssen, wird man solche Stellen doch wohl zweckmäßig von vornherein als besondere elliptische Singularitäten in der Überschallströmung behandeln. Hierin sehe ich die Bedeutung des kegeligen Feldes, von dem der infinitesimale Fall nur eine erste Näherung darstellt.

Der Deutschen Akademie der Luftfahrtforschung
vorgetragen am 4. Dezember 1912